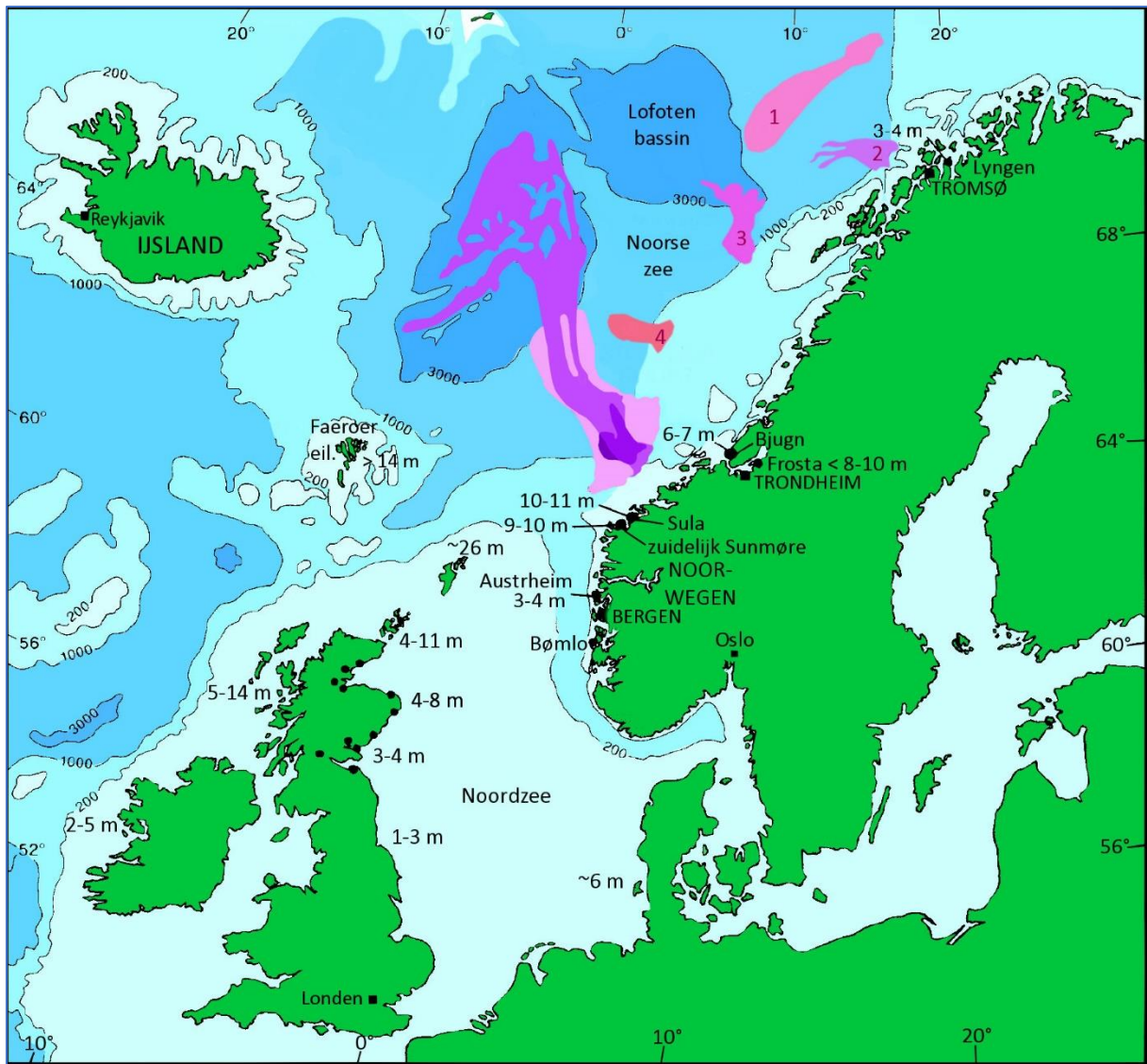
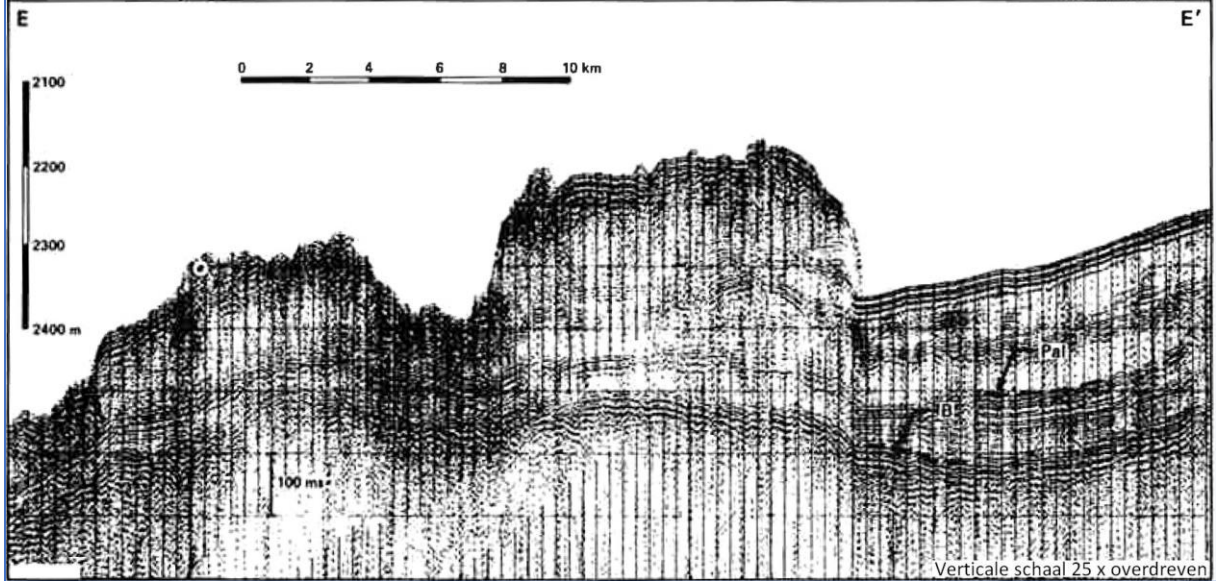
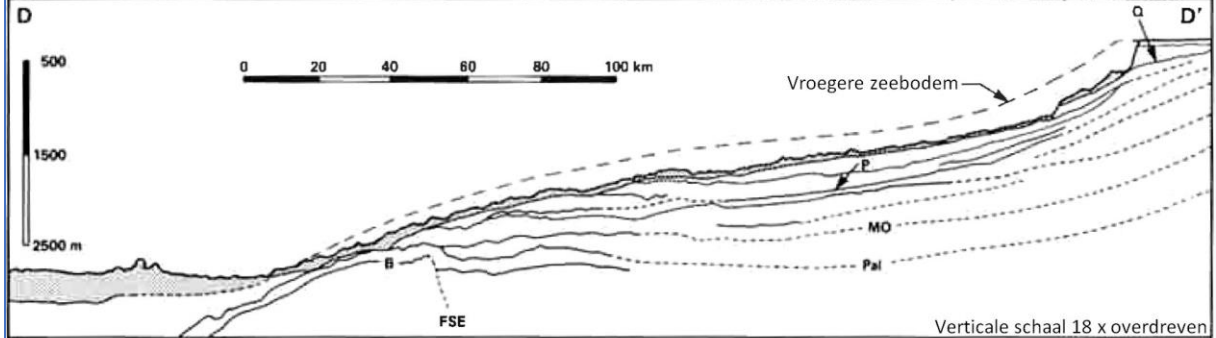
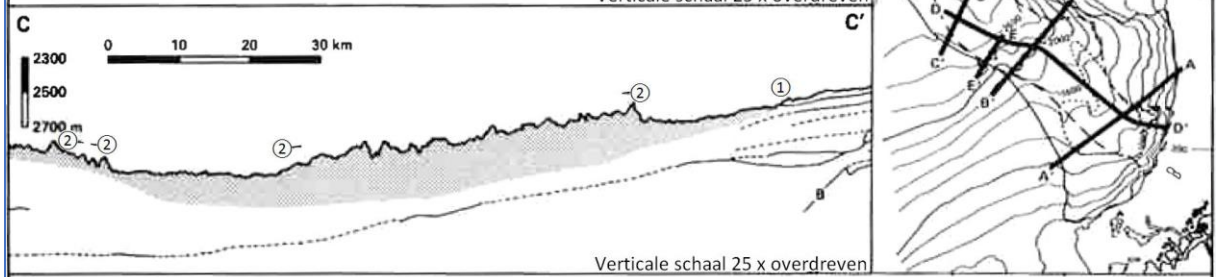
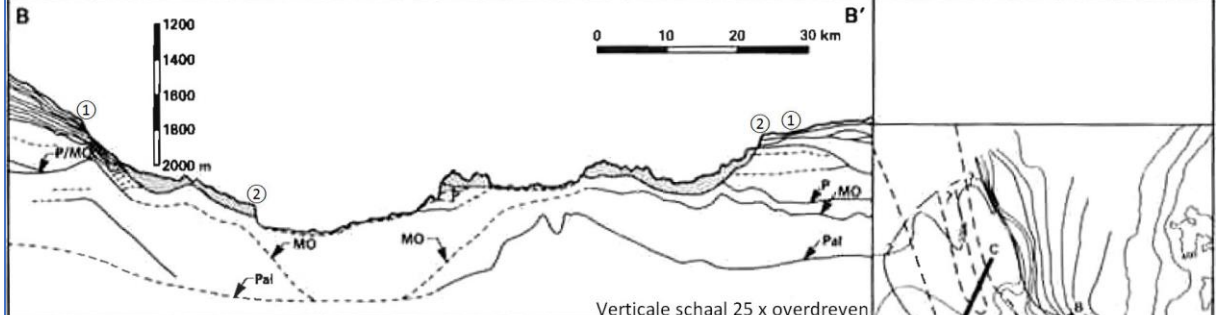
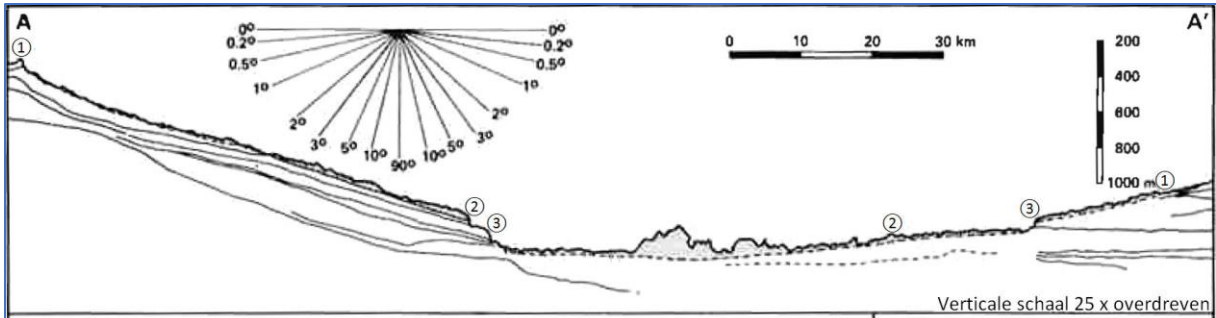


Grondboor & Hamer 2019 nr. 2, Pieter A.M. Gaemers, 2019. Tsunami's in de Noordzee en Noordwest-Europa door afglijdingen voor de Noorse kust.

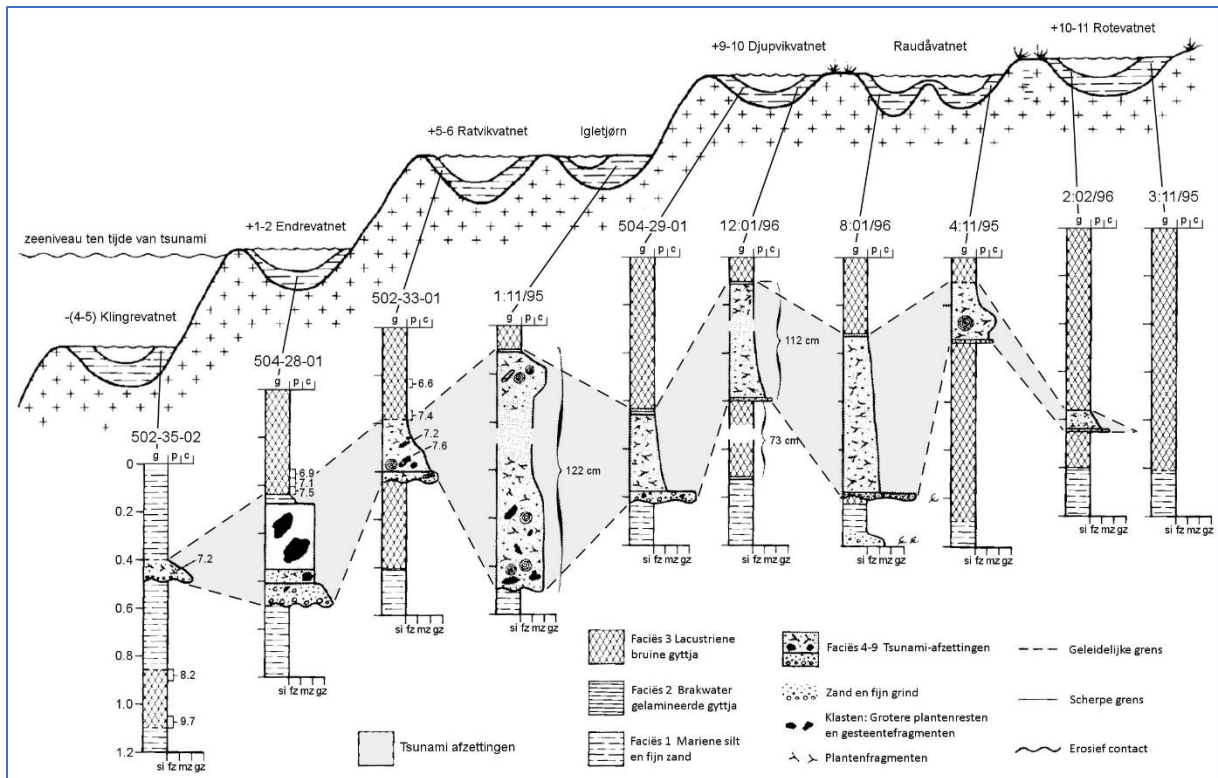
Een aantal afbeeldingen uit het artikel zijn in deze pdf gezet, zodat deze bij vergroting beter leesbaar zijn.



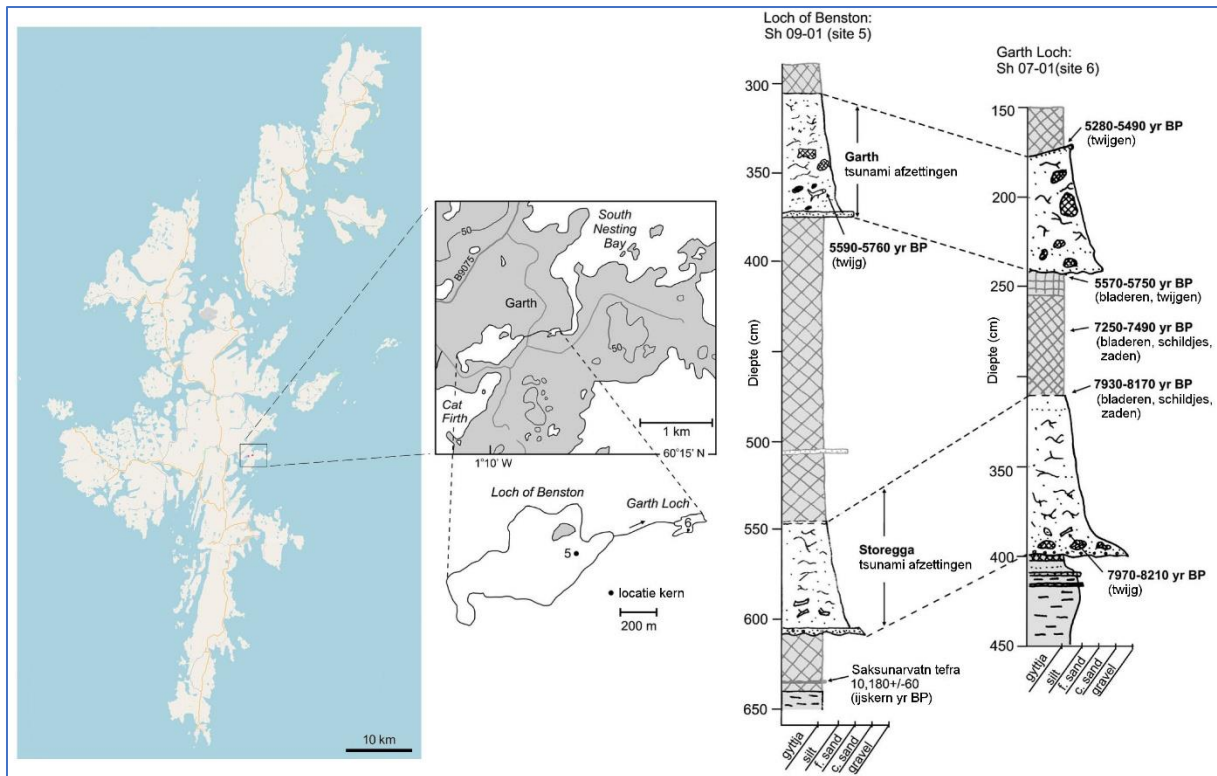
Afbeelding 2. | Kaart met de uitbreiding van de belangrijkste onderzeese afglijdingen sinds het Midden-Pleistoceen. De schattingen van de hoogten van de run-up tijdens de tweede Storegga-afglijding langs de kusten worden in meters aangegeven. Plaatselijke verschillen kunnen heel groot zijn. (naar Bondevik et al., 1997a, Bondevik et al., 2003, Laberg & Vorren, 1993, 1996, 2000, Laberg et al. 2000, 2000a, 2000b, aangevuld met data uit andere bronnen en eigen interpretatie van run-ups uit de literatuur).



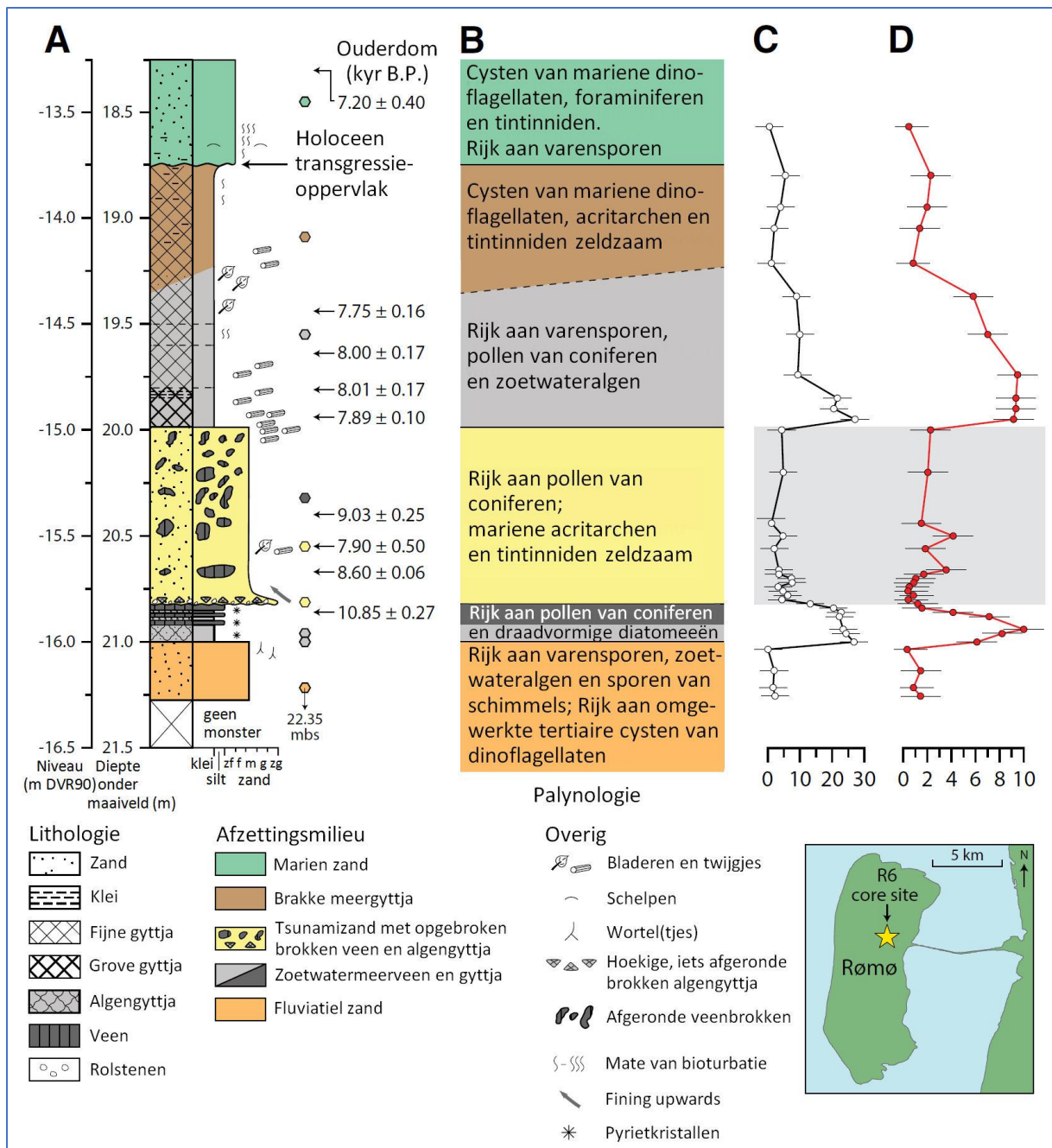
Afbeelding 3. | Dwarsdoorsneden en een lengtedoorsnede door het bovenste deel van de Storegga-afglijdingen gebaseerd op analoge sparkerprofielen. De omcirkelde 1, 2 en 3 in profielen A – C markeren de laterale uitbreiding van de drie Storegga-afglijdingen. De reconstructie van de voormalige zeebodem is met streep- en stippellijnen aangegeven in profiel D-D'. Profiel E-E' toont een sparkerprofiel van twee zeer grote sedimentblokken die tot 10 x 30 km lang en breed en 200 m dik zijn op een gemiddelde helling van slechts 0,3° tijdens de tweede Storegga-afglijding. Q = basis Pleistoceen, P = basis Pliocene, MO = Midden Oligoceen, Pal = Paleoceen/Onder-Eoceen, B = Tertiaire basalt, FSE = begraven Færøer-Shetland-steilteereliëf. De afglijdingssedimenten zijn met grijs aangegeven (naar Brugge et al., 1987).



Afbeelding 7. | Een schematische dwarsdoorsnede van de onderzochte meertjes op het eiland Sula ten opzichte van het geschatte zeeniveau ten tijde van de tsunami. De meertjes liggen ongeveer in een cirkel op het noordoostelijke deel van het eiland Sula, maar niet in de volgorde van laag naar hoog. De diepte van de boringen wordt in meters aangegeven: 1.2 is bijvoorbeeld 1 m 20 cm (naar Bondevik et al., 1997a).



Afbeelding 10. | *Ligging van de twee vindplaatsen waar twee tsunami-afzettingen boven elkaar gevonden zijn: van de oudere Storegga en de jongere Garth tsunami. Het Garth Loch bevindt zich iets boven het hoogwaterniveau en het Loch of Benston ligt 1,6 m hoger en watert af in het Garth Loch. De dateringen van de Garth Loch tsunami-afzettingen liggen tussen 5300 en 5700 jaar geleden. Ongeveer 45% van de gedetermineerde diatomeeën is van mariene oorsprong (naar Bondevik et al., 2005).*



Afbeelding 11. | Gedeelte van kernboring R6 op het eiland Rømø met het traject waarin de tsunami-afzettingen zich bevinden. A = de sedimentaire kolom. Het zand is onderverdeeld in zf: zeer fijn-, f: fijn-, m: middel-, g: grof- en zg: zeer grofkorrelig. De tsunami-afzettingen bevinden zich tussen 15,0 en 15,8 m beneden het huidige zeeniveau. DVR = Danish Vertical Reference system. De ¹⁴C-ouderdomsbepalingen wordt in kilojaren aangegeven. B = samenvatting van palynologische gegevens. C = percentage koolstof, en D = percentage zwavel in de monsters (naar Fruergaard et al., 2015).